

УДК 53.096:539.1.078

# ВЛИЯНИЕ ТЕМПЕРАТУРЫ ОРИЕНТИРОВАННОГО КРИСТАЛЛИЧЕСКОГО КОНВЕРТОРА НА ОТКЛИК СПЕКТРОМЕТРА

В. А. Басков<sup>1,\*</sup>, В. В. Ким<sup>1</sup>, Б. И. Лучков<sup>2</sup>,  
В. Ю. Тугаенко<sup>2</sup>, В. А. Хабло<sup>1</sup>

*Охлаждение до температуры 77 K 1 мм ориентированного вдоль оси ⟨111⟩ кристаллического вольфрамового конвертора перед электромагнитным спектрометром толщиной 25X<sub>0</sub> и регистрирующего ливни от электронов 28 ГэВ приводит к уменьшению радиационной длины кристалла на ~30%, сдвигает каскадной кривой развития ливня в спектрометре на ~7% и улучшает энергетическое разрешение спектрометра на ~5% по сравнению с аналогичными параметрами спектрометра при температуре кристалла 293 K.*

**Ключевые слова:** ориентированный кристалл, аномальные электромагнитные ливни, отклик спектрометра, температура, каскадные кривые, радиационная длина, ориентационная зависимость.

Отклик спектрометра, регистрирующего электромагнитные ливни от электронов (позитронов) и  $\gamma$ -квантов с энергией  $E \geq 0.1$  ГэВ (“стандартные” ливни), определяется интегральной и каскадной кривыми развития ливня, которые, в свою очередь, определяют основные свойства спектрометра (продольный и поперечный размеры, энергетическое разрешение). На отклик спектрометра, регистрирующего “стандартные” ливни, влияют в основном два фактора: энергия частицы и свойства рабочего вещества спектрометра [1, 2].

Отклик спектрометра, регистрирующего электромагнитные ливни, развивающиеся в ориентированном кристалле (“аномальные” ливни), отличается от отклика спектрометра, регистрирующего “стандартные” ливни [3]. В этом случае на отклик спектромет-

<sup>1</sup> ФИАН, 119991 Россия, Москва, Ленинский проспект, 53.

<sup>2</sup> 115549, Москва, Национальный исследовательский ядерный университет “МИФИ”.

\* E-mail: baskov@x4u.lebedev.ru.

ра дополнительно влияют: тип кристалла (потенциал оси или плоскости, вдоль которой развивается ливень), степень ориентации относительно оси или плоскости, температура кристалла [3, 4].

Теоретические работы, связанные с изучением электродинамических процессов излучения электронов (позитронов) и рождения  $e^+e^-$ -пар  $\gamma$ -квантами высоких энергий при углах входа в кристаллы  $\Theta \ll V/mc^2$  предсказали зависимость процессов от температуры [3] ( $V$  – масштаб потенциала оси (плоскости) кристалла). Экспериментальные работы, выполненные в ФИАНе, подтвердили, что вероятность рождения  $e^+e^-$ -пар  $\gamma$ -квантами со средней энергией  $\langle E_\gamma \rangle = 18$  ГэВ и выход излучения электронами с энергией  $E = 28$  ГэВ в области постоянного сильного поля (ПСП) при охлаждении ориентированного 1 мм кристалла вольфрама с температуры  $T_1 = 293$  К до  $T_2 = 77$  К возрастают на  $\sim 15\%$  [5]. Тем не менее, поведение “аномальных” ливней в ориентированном кристалле и степень изменения отклика спектрометра, регистрирующего ливни, при изменении температуры кристалла оставалось неясным.

Данная работа представляет экспериментальные результаты исследований “аномальных” ливней и зависимости отклика электромагнитного спектрометра с конвертором из ориентированного кристаллического вольфрамового конвертора от температуры конвертора.

Работа была выполнена на электронном канале ускорителя ИФВЭ на установке “Каскад” [4, 6]. В качестве конвертора использовался кристалл вольфрама толщиной 1 мм, ориентируемый вдоль оси  $\langle 111 \rangle$  (радиационная длина вольфрама  $X_0 = 3.5$  мм). Кристалл считался ориентированным при  $\Theta_o = 0$  и разориентированным (аморфным) при  $\Theta_p \geq 20$  мрад. Мозаичность кристалла составляла 1 мрад. Для регистрации ливней использовался спектрометр, состоящий из составного черенковского ливневого спектрометра (СЧЛС) (10 независимых радиаторов толщиной  $1X_0$ ) и черенковского спектрометра (ЧС) (толщиной  $15X_0$ ). Исследовались характеристики ливней, выходящих из ориентированного кристалла, и отклик спектрометра, регистрирующего эти ливни, при комнатной температуре кристалла  $T_1 = 293$  К и при температуре жидкого азота  $T_2 = 77$  К.

На рис. 1 представлены каскадные кривые развития электромагнитного ливня в СЧЛС от электронов при разных температурах разориентированного (зависимости 1, 2) и ориентированного (зависимости 3, 4) кристаллического конвертора перед СЧЛС ( $K$  – калибровочная кривая, полученная при отсутствии перед СЧЛС кристаллического конвертора). Разориентированный конвертор при  $T_1$  перед СЧЛС сдвигает каскад-

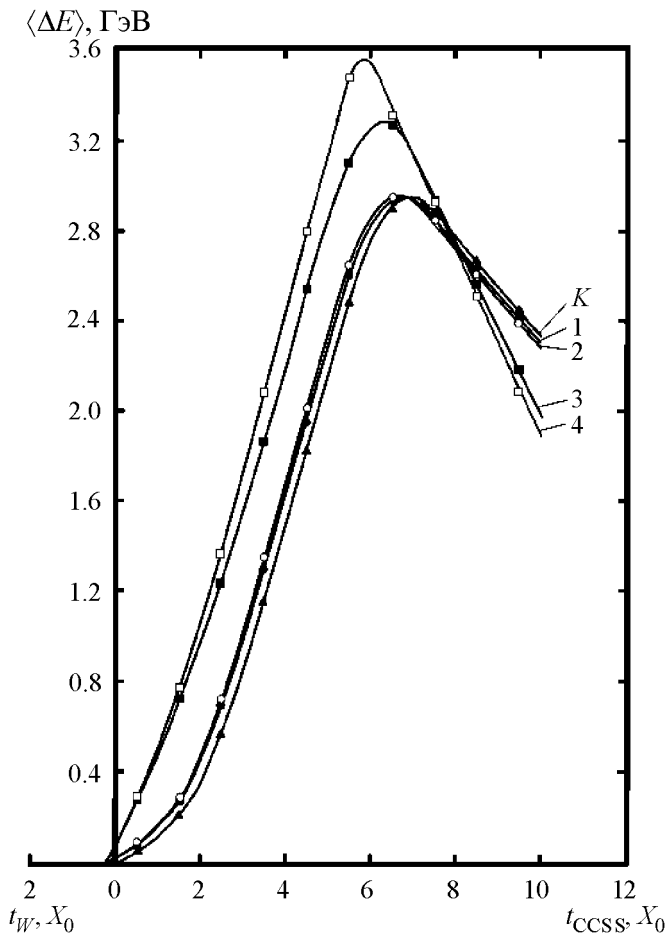


Рис. 1: Каскадные кривые развития электромагнитного ливня в СЧЛС от электронов с энергией  $E = 28$  ГэВ при разных температурах разориентированного (1, 2 –  $\Theta_p = 20$  мрад) и ориентированного (3, 4 –  $\Theta_o = 0$  мрад) вдоль оси  $\langle 111 \rangle$  кристаллического 1 мм вольфрамового конвертора ( $\langle \Delta E \rangle$  – средняя энергия ливня, выделившаяся в счетчиках СЧЛС;  $K$  – кристалл перед СЧЛС отсутствует;  $t_W$  и  $t_{CCSS}$  – толщины кристалла и СЧЛС в единицах  $X_0$ , соответственно; 1, 3 –  $T_1 = 293$  K; 2, 4 –  $T_2 = 77$  K).

ную кривую развития электромагнитного ливня в сторону её начала, в кристалл, на величину толщины кристалла (зависимость 1). Ориентация кристалла при  $T_1$  сдвигает каскадную кривую ещё больше в сторону начала развития ливня (зависимость 3) [4]. Охлаждение разориентированного конвертора до  $T_2$  сдвигает каскадную кривую на  $\approx 0.1X_0$  ( $\approx 1.5\%$ ) в сторону начала развития ливня (зависимость 2). Ориентация охлажденного кристалла сдвигает каскадную кривую (зависимость 4) к началу развития на

~15% относительно зависимости 2 (разориентированный кристалл) или на ~7% относительно каскадной кривой при ориентированном кристалле и  $T_1$  (зависимость 3).

Таблица 1

*Положение максимума каскадной кривой развития ливня от электронов с  $E = 28 \text{ ГэВ}$  в СЧЛС при разориентированном и ориентированном конверторе перед СЧЛС в зависимости от температуры конвертора*

Положение максимума каскадной кривой в СЧЛС	$t_{\max p}, X_0$ ( $\Theta_p = 20 \text{ мрад}$ )	$t_{\max o}, X_0$ ( $\Theta_o = 0 \text{ мрад}$ )	$\Delta t = t_{\max p} - t_{\max o}, X_0$
Температура			
$T_1 = 293 \text{ К}$ (калибровка)	$7.1 \pm 0.1$		
$T_1 = 293 \text{ К}$	$6.8 \pm 0.1$	$6.3 \pm 0.1$	$0.5 \pm 0.2$
$T_2 = 77 \text{ К}$	$6.7 \pm 0.1$	$5.9 \pm 0.1$	$0.8 \pm 0.2$

В таблице 1 представлены положения максимума каскадной кривой и величина сдвигки кривой при ориентации и разориентации кристалла при разных температурах. Величина  $\Delta t = t_{\max p} - t_{\max o}$ , определяющая разность положений максимума каскадной кривой в СЧЛС при ориентированном конверторе ( $t_{\max p}$ ) относительно разориентированного ( $t_{\max o}$ ), является также и величиной, на которую увеличивается эффективная толщина конвертора  $t_{W\text{eff}} = t_W + \Delta t$  ( $t_{W\text{eff}}$  – толщина конвертора, при которой происходит наиболее эффективное взаимодействие частиц с кристаллом;  $t_W$  – толщина конвертора при разориентации кристалла).

Увеличение эффективной толщины конвертора  $t_{W\text{eff}}$  означает уменьшение радиационной длины ориентированного кристалла  $X'_0 = X_0 \cdot (t_W/t_{W\text{eff}})$  [3–5]. Рис. 2 представляет зависимость радиационной длины кристалла от температуры. Видно, что охлаждение ориентированного конвертора с  $T_1$  до  $T_2$  приводит к уменьшению радиационной длины на  $\approx 30\%$ . Охлаждение разориентированного конвертора с  $T_1$  до  $T_2$  (зависимость 2 на рис. 1), приводит, как указано выше, к незначительной, на  $\approx 1.5\%$ , сдвигке каскадной кривой и показывает, что при данном угле входа частиц в кристалл (зависимость 1 на рис. 2) изменилась радиационная длина конвертора. Изменение радиационной длины в этом случае говорит о том, что при температуре  $T_2$  кристалл уже не является разориентированным, то есть указывает на увеличение ширины ориентационной зависимости развития ливня в кристалле.

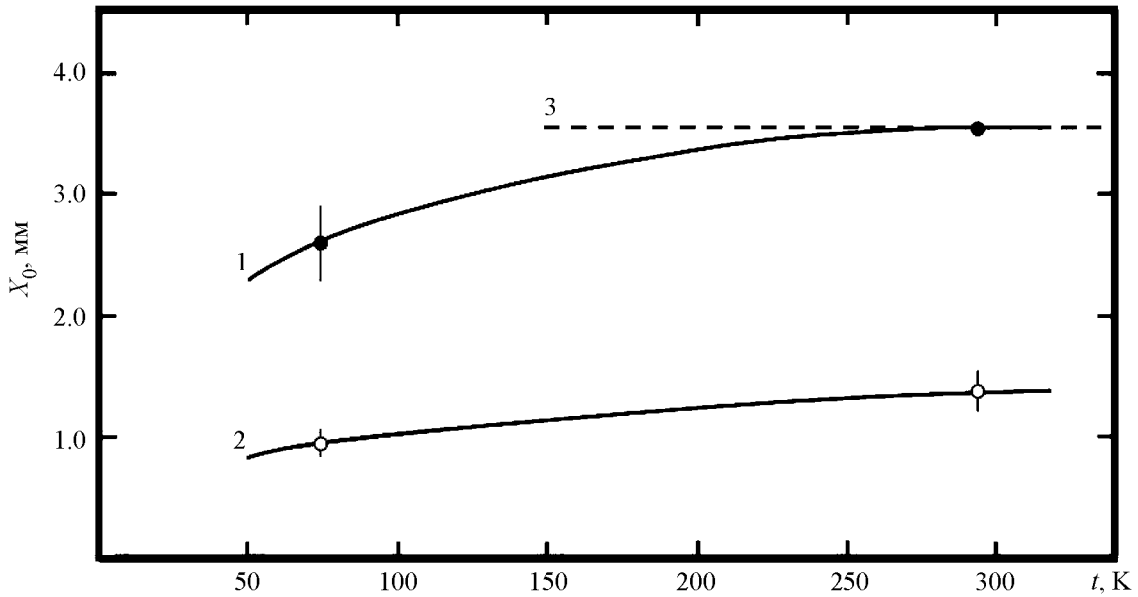


Рис. 2: Зависимость радиационной длины: 1 – разориентированного ( $\Theta_p = 20$  мрад) и 2 – ориентированного ( $\Theta_o = 0$  мрад) вдоль оси  $\langle 111 \rangle$  кристаллического 1 мм вольфрамового конвертора перед СЧЛС от температуры при энергии электронов  $E = 28$  ГэВ (3 – аморфный вольфрам).

Действительно, результаты измерений зависимости среднего энерговыделения ливня в первом счетчике СЧЛС для  $T_1$  и  $T_2$  от угла ориентации конвертора  $\Theta$  [6] показывают, что охлаждение конвертора до  $T_2$  увеличивает ширину ориентационной зависимости на  $\Delta\Theta \approx 1$  мрад (под шириной ориентационной зависимости  $\Delta\Theta$  принимается полная ширина ориентационной зависимости измеряемого параметра ливня (например, энерговыделения) на половине высоты).

Охлаждение конвертора с  $T_1$  до  $T_2$  улучшает энергетическое разрешение спектрометра. На рис. 3 представлены зависимости относительного энергетического разрешения спектрометра СЧЛС+ЧС общей толщиной  $25X_0$  с разориентированным (зависимость 1) и ориентированным конвертором (зависимости 2 и 3) ( $\delta = \sigma/\langle E \rangle$ ,  $\sigma$  – среднеквадратичное разрешение,  $\langle E \rangle$  – средняя энергия ливня, выделившаяся в спектрометре) от энергии электронов  $E = 26$  и  $28$  ГэВ и температуры. Точки  $\bullet$ ,  $\circ$  и  $\Delta$  были измерены, для точек  $\square$  были сделаны оценки. Оценки были произведены следующим образом: разрешение спектрометра СЧЛС+ЧС при разориентированном кристалле определяется как  $\sigma/\langle E \rangle = \alpha + k/E^{-1/2} = 0.012 + 0.061/E^{-1/2}$  [4, 7]. Если предположить, что при ориентации кристалла постоянный член  $\alpha$ , определяющий систематические ошибки измерений

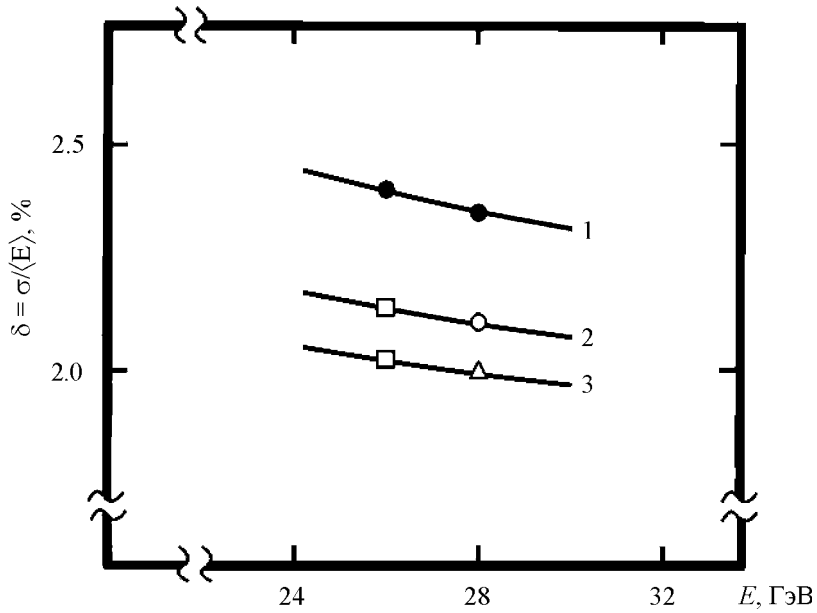


Рис. 3: Зависимость относительного энергетического разрешения спектрометров СЧЛС+ЧС общей толщиной  $25X_0$  ( $\delta = \sigma/\langle E \rangle$ ,  $\sigma$  – среднеквадратичное разрешение,  $\langle E \rangle$  – средняя энергия ливня, выделившаяся в спектрометре) с разориентированным (1) и ориентированным вдоль оси  $\langle 111 \rangle$  (2 и 3) кристаллическим вольфрамовым конвертором 1 мм от энергии электронов: 1 и 2 –  $T_1 = 293$  K; 3 –  $T_2 = 77$  K ( $\bullet$ ,  $\circ$ ,  $\Delta$  – измерения;  $\square$  – оценка).

спектрометра, не меняется, то коэффициент  $k$  при  $E = 28$  ГэВ и  $T_1$  для зависимости 2 (кристалл ориентирован), с учетом измеренного разрешения  $\sigma/\langle E \rangle = 2.11\%$ , стал равным  $k = 0.048$ , а для  $T_2$  и этой же энергии при измеренном разрешении  $\sigma/\langle E \rangle = 2.00\%$  стал равным  $k = 0.042$  (улучшение разрешения при уменьшении температуры составило  $\sim 5\%$ ). Отсюда относительное энергетическое разрешение при  $E = 26$  ГэВ для  $T_1$  и  $T_2$  составило  $\delta \approx 2.14\%$  и  $2.02\%$  соответственно.

Таким образом, температура ориентированного кристалла влияет на развитие электромагнитных ливней. Уменьшение температуры ориентированного кристалла приводит к усилению эффектов развития электромагнитных ливней в кристалле (увеличению энерговыделения, уменьшению радиационной длины кристалла, увеличению ширины ориентационной зависимости развития ливня) и к изменению отклика спектрометра, регистрирующего электромагнитные ливни, выходящие из кристалла (уменьшению длины продольного развития ливня, улучшению энергетического разрешения). Уменьшение температуры ориентированного кристалла на значительную величину (с

комнатной 293 К до температуры жидкого азота 77 К, то есть на  $\sim 200$  К ( $\sim 70\%$ ) ведет к изменению эффектов развития ливней в зависимости от параметров кристалла на 6% – 30%. Данные измерения подтверждают ранние измерения зависимости электродинамических процессов от температуры [5] и предсказания работы [3] по усилению ориентационных эффектов с уменьшением температуры.

Авторы выражают благодарность Е. И. Тамму и Е. И. Малиновскому за поддержку работы; В. И. Сергиенко за практическое руководство и организацию работ.

## Л И Т Е Р А Т У Р А

- [1] Б. Словинский, Физика элементарных частиц и атомного ядра (ФЭЧАЯ), **25**, вып. 2, 417 (1994), Дубна.
- [2] А. Н. Калиновский, Н. В. Мохов, Ю. П. Никитин, *Прохождение частиц высоких энергий через вещества* (М., Энергоатомиздат, 1985).
- [3] U. I. Uggerhoj, *Reviews of Modern Physics* **77**, 1131 (2005).
- [4] В. А. Басков, В. В. Ким, Б. И. Лучков и др., Препринт ФИАН № 31 (Москва, ФИАН, 2006).
- [5] В. А. Басков, В. Б. Ганенко, Ю. В. Жебровский и др., Тезисы докладов XIX Всесоюзного совещания по физике взаимодействия заряженных частиц с кристаллами (М., МГУ, 84, 1989).
- [6] В. А. Басков, В. В. Ким, Б. И. Лучков и др., Препринт ФИАН № 35 (Москва, ФИАН, 2011).
- [7] В. А. Басков, А. С. Белоусов, В. В. Ким и др., ПТЭ, № 5, 66 (2011).

Поступила в редакцию 8 ноября 2011 г.